

## HUMBOLDT SUSPENSION PREHEATER KILN 의 熱 効 率

雙龍洋灰工業株式會社

崔 廷 旭

### Humboldt Suspension Preheater Kiln 에 對한 解説

세멘트의 製造原價中에서 가장 큰 費目을 차지하는 것이 燃料費라는 것은 周知하는 事實이다. 燃料費가 차지하는 Weight는 運搬費等 工場立地에 따라 相異하지만 大体로 세멘트工場製造 純原價의 40~60%를 차지하는 것인바 이 原價低減을 爲하여 不斷한 研究調査가 實施되어 왔고 그 結果 다음과 같은 方法의 製造方式이 現在 採用되고 있다.

- 1) Suspension preheater 付 rotary kiln
- 2) 可動 grate 付 rotary kiln (Lepol 式)
- 3) 濕式 或은 乾式 long kiln
- 4) Shaft kiln

이러한 cement kiln의 發展過程을 歷史的으로 더듬어 보면 모두가 品質向上과 經濟性向上을 目標로 進行되어 왔는데 經濟的인 觀點에서 보면 長期安全運轉과 人件費의 節減을 主로 한 發達樣式과 燃料費節減에 依한 cost 低下를 主로 한 發達樣式

으로 区分할 수 있으며 前者를 代表하는 것이 湿式 或은 乾式의 long kiln 이고 後者를 代表하는 것이 suspension preheater 付 rotary kiln 이다. suspension preheater 付 rotary kiln 이 長期安全運轉과 人件費를 節減하는 方向으로 더욱 發展시킨데 反하여 湿式 或은 乾式의 long kiln 은 現今 kiln 의 長이를 漸々 短게하여 燃料費의 節減을 企圖하고 있다.

suspension type preheater 는 熱効率が 가장 좋다 하여 現在 歐羅巴의 著名한 세멘트機械製造会社인 Polissius, Krupp F. L. Smith 会社에서도 各已 Humboldt 式과 類似한 suspension preheater 를 製作하기 始作하였는데 그 理由로는

1) Lepol kiln 에 있어서와 같이 造粒이 잘 되어야 한다는 條件을 滿足시키기 爲한 原料의 制限이 없이 広範圍한 質의 세멘트原料를 使用할 수 있으며

2) wet (or dry) process long kiln 보다 熱消費량이 적고 特히 "thermic coupling" 을 함으로써 다른 세멘트製造方式에 比하여 廢熱을 最大限으로 利用할 수 있으며

3) 工程이 單純하고 保全이 容易하여 長期安全運轉이 可能하며

4) 他 製造方式에 比하여 品質도 損色이 없다는 諸 事實 때문이다.

Humboldt suspension preheater kiln 은 弊社에서 우리나라에서는 처음으로 建立하는 것이므로 于先 이에 對하여 簡單히 紹介하기로 하겠다.

Humboldt suspension preheater ( 또는 heat exchanger )

는 二次大戰後 西獨 Humboldt 會社에 依해서 發達된 것으로 1951年에 첫工場을 세우고 1960年까지 10年間 69個의 工場을 建立하였는데 세레트界的 評이 높아 1963年4月現在 105個의 工場이 建立되었으며 現在도 約 40個 工場으로 부터 繼續 注文을 받고 있는 實情이다.

Humboldt suspension preheater 는 hot gas 中에 微粉末 原料를 suspend시켜 熱交換하는 裝置이다. kiln의 廢熱은 kiln end부터 cyclone stage IV → stage I으로 誘導되며 粉碎된 微粉末原料는 cyclone stage I → stage IV로 Fig. 1에 圖示된 바와 같이 cyclone에 依해 傳達되고 微粉末原料는 kiln廢熱의 hot gas stream 中에서 suspend된 狀態로 熱交換되는 것이다.

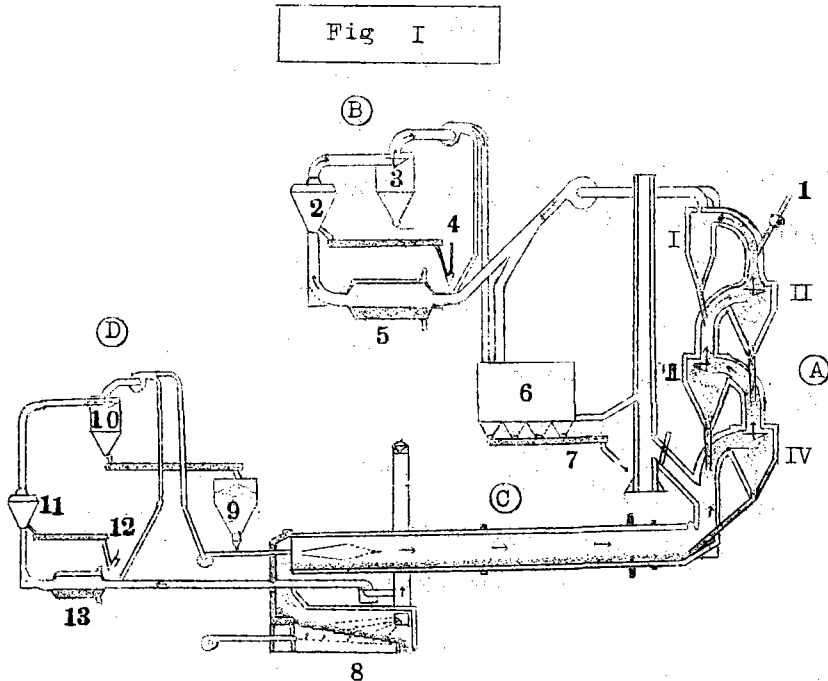


Fig. 1 Humboldt rotary kiln with suspension preheater

- |          |               |
|----------|---------------|
| A. 豫熱裝置  | I. 싸이크론 第一段   |
| B. 原料粉碎部 | II. 싸이크론 第二段  |
| C. 廻轉爐   | III. 싸이크론 第三段 |
| D. 石炭粉碎部 | IV. 싸이크론 第四段  |
| 1. 原料裝入  | 8. 冷却機        |
| 2. 空氣分離機 | 9. 微粉炭槽       |
| 3. 싸이크론  | 10. 싸이크론      |
| 4. 原料配合物 | 11. 空氣分離機     |
| 5. 原料粉碎機 | 12. 原料石炭      |
| 6. 收塵機   | 13. 石炭粉碎機     |
| 7. 收塵回收  |               |

固体: 気体間의 熱交換에 있어서 固体의 particle size가 적으면 적을수록 表面積이 커져 熱交換速度가 빠르게 된다. suspension type preheater의 長点의 하나는 乾燥된 原料를 微粉狀態로서 撥熱인 hot gas stream속에서 熱交換시키는 것 인바 常溫의 kiln 注入原料를 800°C로 豫熱하는데 不過 30秒라는 짧은 時間에 할 수 있다는 것은 놀라운 事實이 아닐 수 없다.

一般的으로 熱交換에 있어 hot gas stream과 raw feed를 uniflow로 하는 것 보다는 counter-flow로 하는 것이 有利한 것이다. Humboldt suspension preheater는 原料의 흐름(cyclone stage I → stage IV)과 hot gas stream(cyclone stage IV → stage I)을 서로 counter-flow시키고 있으며常溫의 kiln feed를 4個의 stage를 거쳐 kiln에 들어가기 前에 約 800°C로 豫熱하게 되는 것이다.

Humboldt heat exchanger (stage I)의 waste gas 温度는 300°-350°C 인바 이는 다른 kiln 에 比하여 若干 높은 温度이다。 Humboldt system 에서는 이 waste gas 를 Fig. 1 에 서 보는 바와 같이 原料乾燥에 使用하게 되는데 이렇게 함으로써 clinker 生産에 있어서의 全体的인 熱效率은 大端히 높아지게 된다。 이와같이 suspension preheater 의 stage I 과 原料粉碎機를 連結하여 waste gas 를 原料乾燥하는데 利用하는 arrangement 를 "thermic coupling" 이라 稱하는데 thermic coupling 을 함으로써 (waste gas 를 利用하여 原料乾燥함으로써) 100~150 Kcal/Kg clinker 의 熱이 回收되는 것이다。

Humboldt system 에서 또 한가지 特記할 것은 Fuller clinker cooler 의 waste gas 를 石炭粉碎機에 이끌어 "thermic coupling" 함으로써 熱經濟를 더욱 向上시킬 수 있다는 点이다。 이렇게 함으로써 다른 process 에서 別途로 乾燥機를 設置하여 石炭을 乾燥하는데 消費되는 熱量만큼 Humboldt system 에서는 waste gas 를 利用함으로써 實地로 相當한 量의 (50~100 Kcal/Kg clinker) 熱量을 節減하고 있는 것이다。

Humboldt kiln 에 있어서 clinker 燒成에 所要되는 熱消費量을 보면

- 1) clinker 燒成과 原料乾燥에 所要되는 熱消費量:  
850 ~ 900 Kcal/Kg clinker
- 2) clinker 燒成만에 所要되는 熱消費量:  
730 ~ 780 Kcal/Kg clinker

以上の 것을 綜合하여 製造工程을 略述하면 다음과 같으며 參考  
로 西獨에 있는 Humboldt 式 工場의 한 操業例(運轉狀況)를  
Fig. 2에 圖示한다.

다른 세멘트製造工程에서와 마찬가지로 第一次粉碎(粗碎)와 第二  
次粉碎(微粉碎)된 原料는 homogenizing (blending) silo에서  
blending되고 blending이 完了된 微粉原料는 heat exchanger  
의 stage I으로 feed되어 stage IV로 傳達되는데 여기서 原料  
는 calcining되며 rotary kiln에서 clinker로 燒成된 것은  
Fuller cooler에 依해 air quenching되고 storage로 輸送되어  
貯藏케 된다.

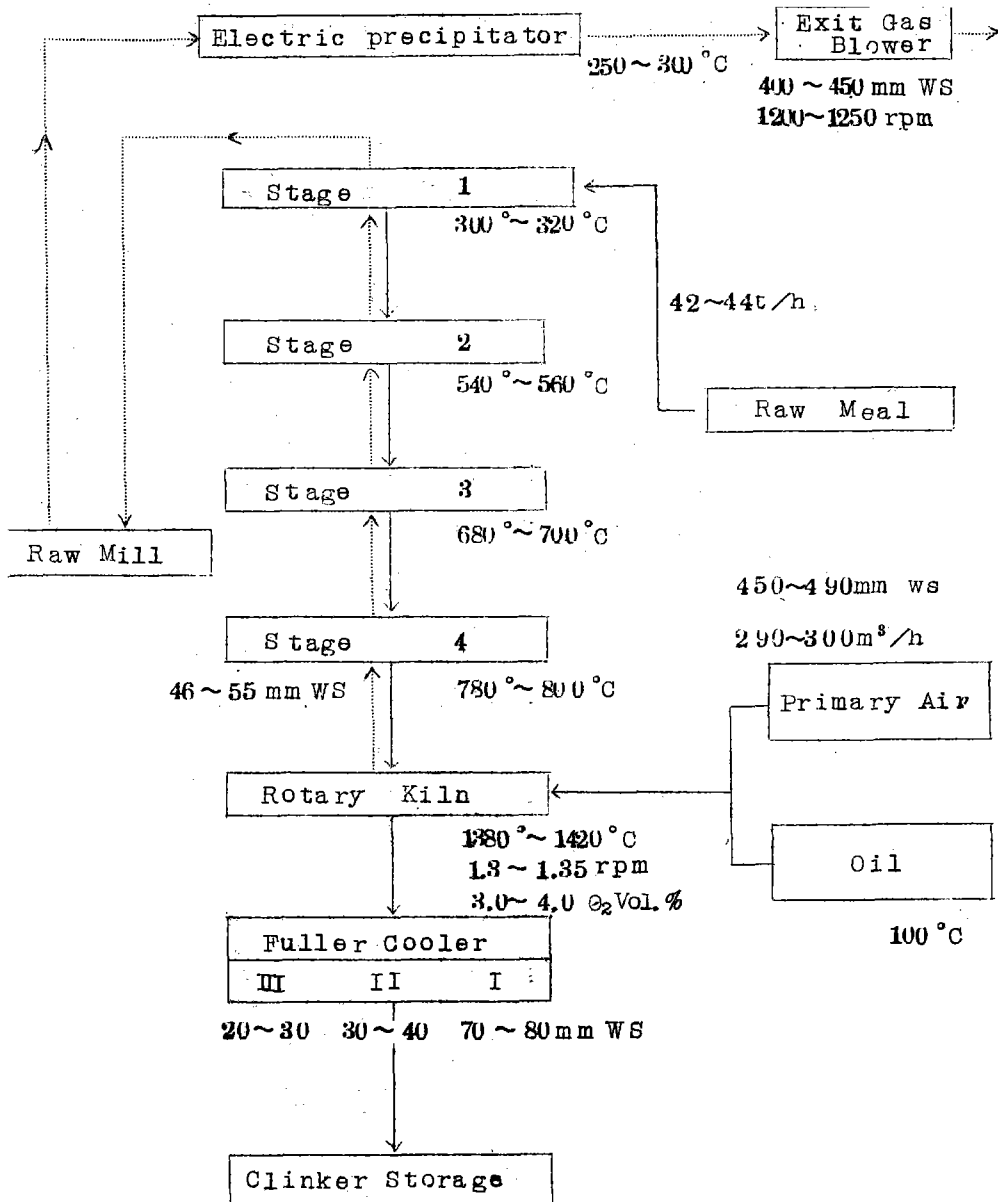
한편 rotary kiln의 廢熱은 heat exchanger를 거쳐 feed된  
微粉原料를 豫熱한 後 stage I으로 부터 raw mill로 引導(ther-  
mic coupling)되어 raw mill의 原料를 乾燥한 後 electric  
precipitator를 거쳐 (여기서 dust는 回收됨) exit gas bl-  
ower에 依해 clean gas만이 stack로 排出케 된다.

反面 clinker cooler에서 發生된 熱은 石炭粉碎機에 thermic  
coupling되어 石炭乾燥를 하고 이 hot gas는 dust collector  
를 거쳐 排出케 된다.

貯藏庫에 貯藏되어 있는 clinker는 세멘트粉碎機에 依해서 約  
3~4%의 石膏와 함께 粉碎되어 세멘트싸이보(cement silo)로  
輸送되고 包裝되어 製品으로 된다.

各部の 溫度 壓力等 運轉狀況을 西獨의 Westdeutsch Kalk und  
Portlandzement-werke AG의 Sötenich plant의 實地 操業例를  
들어 Fig. 2에 表示한다.

Fig 2. Summary of kiln operation  
at sotenich plant



Humboldt Suspension Preheater Kiln의 熱収支

弊 雙龍工場은 아직 正常操業이 되지 않고 있어 當工場 kiln의 熱效率에 對해서는 現今 言及할수가 없으므로 여기에는 文獻에 나타난 kiln의 data를 紹介하기로 한다. (1)

于先 熱収支를 試驗한 kiln에 對해서 그 內容을 살펴 보면 Table 1과 같다.

Table 1: Technical data for the kiln investigated

Kiln

Maker	: Humboldt
Year of construction	: 1953
Dimensions	: 3.2m × 40m
Effective kiln volume	: 246 m <sup>3</sup>
Spec. volume rating of kiln	: 1.69 t/24 hm <sup>3</sup>
Inclination	: 3.5 %
Kiln speed	: 1 rpm
Type of fuel	: pulverised coal
Fuel feed	: twin screw feeder
Source of primary air	: exhaust air from cooler, and free air
Primary air nozzle diameter	: 150 mm
Raw material feed	: cellular feeder for dry raw meal



Dust collection	: Elex electrostatic precipitator
Dust return	: into kiln inlet

Preheater

Process	: suspension preheater
Maker	: Humboldt
Year of construction	: 1953
Dimensions	: 4 cyclone stages

Clinker Cooler

Type	: inclined grate cooler (Fuller)
Maker	: Claudius Peters
Size	: 625
Effective grate area	: 13.95 m <sup>2</sup>
Waste heat utilization	: utilization of exit gas in two Humboldt drying & grinding mills for raw materials. exhaust air from cooler used as primary air.

熱収支에 對한 計算은 German Cement Work's Association (V. D. Z)<sup>(2)</sup>에서 發行된 標準 計算法에 依해서 算出되었는데 위 Table 1의 kiln에 對한 熱収支는 Table 2에 表示된 바와 같다.

Table 2: Heat balance of rotary kiln

	remarks	Kcal/Kg clinker	Kcal/Kg clinker
<b>1. Heat intake</b>			
1.1. from coal	coal consumption =12.34%	858	
1.11 calorific value	Hu =6.950Kcal/kg H <sub>2</sub> O=0.8% gas=10.6% ash=14.9%		
1.12 sensible heat	30 °C	< 1	
intake from fuel		858	858
1.2. from raw material	1.521 kg raw meal/kg cl.		
1.21 combustible constituents	0.19% carbon	25	
1.22 sensible heat of the raw meal	60 °C	14	
intake from raw material		39	39
1.3. from cooling air	2.50 Nm <sup>3</sup> /kg cl.; 14 °C		- 5
			892
<b>2. Heat expenditure</b>			
2.1. theoretical heat requirement for clinker burning	-		396
2.2 evaporation of water	0.41% H <sub>2</sub> O 314 °C; 1.585 Nm <sup>3</sup> /kg cl.		4
2.3 exit gas losses	n=1.309 (after heat exchanger)  H <sub>2</sub> O=6.6% CO <sub>2</sub> =29.0% O <sub>2</sub> =4.2% CO=0.0% } referred to dry gas false air 12%		184
			5

	remarks	Kcal/Kg clinker	Kcal/Kg clinker
2.4. dust losses(sensible heat)	12.1% exit 344 °C entry 162 °C		5
2.5. radiation and convection			
2.51 kiln shell	} radiation constant c=4	119	
2.52 firing hood		2	
2.53 kiln inlet casing		1	
2.54 heat exchanger		32	
losses due to radiation and convection		154	154
2.6. losses at cooler			
2.61 clinker waste heat	82 °C	11	
2.62 losses with exhaust air from cooler incl. waste heat utilization	201 °C; 1.67Nm <sup>3</sup> /kg cl.	95	
2.63 radiation and convection		3	
2.64 cooling water			
		109	109
2.7. cooling water			-
2.8. remainder			40
total heat expenditure			892

Fuller cooler 의 熱損失에는 clinker 의 waste heat, cooler 의 exhaust air 에 依한 熱, cooler 의 radiation 과 convection 에 依한 損失, 그리고 kiln 目体에 使用되지 않는 waste heat (石炭粉碎機에서 石炭 乾燥에 使用되는 熱도 이에 包含됨) 등이 있다. clinker cooler 에 있어서의 熱損失을 綜合하여 본다는 것은 rotary kiln 의 熱經濟를 考慮하는데 도움이 될 것인바 다

음 Table 3에 이를 例挙한다.

Table 3; Heat and air balances for Fuller cooler

	remarks	heat balance Kcal per kg of clinker	air balance Nm <sup>3</sup> per kg of clinker
<b>1. Intake</b>			
1.1 with clinker	1,350 ° C	342	
1.2 with cooling air	14 ° C	- 5	2.50
Total ;		337	2.50
<b>2. Expenditure</b>			
2.1 secondary air (remainder)	827 ° C	222	0.83
2.2 primary air	129 ° C 0.17Nm <sup>3</sup> /kg cl. =16% of combustion air	6	0.09
heat recovery for kila		228	
2.3 waste heat utili- zation	-	-	
2.4 exhaust air from cooler	210 ° C	95	1.58
2.5 clinker waste heat	82 ° C	11	-
2.6 cooling water waste heat	-	-	-
2.7 losses through walls	-	3	-
heat losses		109	
expenditure		337	2.50

熱収支試驗에서 Table 2와 Table 3와 같은 結果를 얻었는데 熱収支試驗(實地操業狀態下에서 實測하여 試驗한 것임)에

使用한 燃料, 原料, 또는 rotary kiln 内の gas 나 air 狀態라든지 或은 excess air 나 水分量이라든가 radiation and convection 等에 對하여 檢討해 본다는 것은 뜻 있는 것으로 思料되는 바 다음에 이들에 對하여 알기 쉽게 圖表로 表示하기로 한다.

Table 4. Test results for fuel used  
(coal ready for firing)

net calorific value	Kcal/Kg coal	6.950
water content	%	0.8
ash content	%	14.9
volatile constituents	%	19.6
temperature	°C	30
coal consumption	Kg/hr Kg/Kg cl. %	2.139 0.1234 12.34
fineness of the coal ready for firing		
retained on sieve 0.2 DIN 4188, 900 meshes/cm <sup>2</sup>	%	0.9
retained on sieve 0.09 DIN 4188, 4900 meshes/cm <sup>2</sup>	%	11.4
Elemental analysis		
ash	%	14.9
water	%	0.8
carbon C	%	75.2
hydrogen H	%	4.1
total sulphur S	%	1.2
nitrogen N	%	1.2
oxygen O	%	2.6
Total		100.0

Table 5 . Test results for clinker produced

No.	designation		average	max	min	
1	produced amount of clinker	t/24h	416	-	-	
2	bulk density(5-7mm)	Kg/l	1.345	1.562	0.96	
	standard deviation	Kg/l	0.154	-	-	
3	granulometric composition	> 60mm	%	9	18	< 1
		60-40mm	%			
		40-30mm	%			
		30-15mm	%	23	36	13
		15- 7mm	%	29	44	14
		7- 3mm	%	23	32	14
		3- 1mm	%	12	24	2
	< 1mm	%	4	14	1	
4	silica modulus		2.5			
5	alumina-iron ratio		2.5			
6	lime standard (lime saturation expressed as a percentage)		96.20			
7	$C_3S = 3CaO.SiO_2$	%	59.2			
	$C_2S = 2CaO.SiO_2$	%	17.3			
	$C_3A = 3CaO.Al_2O_3$	%	12.0			
	$C_4AF = 4CaO.Al_2O_3.Fe_2O_3$	%	7.9			
	CaO free	%	0.89			

Table 6. Laboratory-mill grinding test results for average clinker samples

specific surface	Cm <sup>2</sup> /g	2.506
percentage retained on DIN 0.20 sieve	%	< 1

percentage retained on DIN 0.09 sieve	%	3.2
gypsum admixture	%	3.4
initial set	h min	3 50
final set	h min	5 10
water requirement	%	26.0
expansion in autoclave test	%	0.26
boiling test	-	satisfactory
cold-water test	-	satisfactory
flexural strength	Kg/Cm <sup>2</sup>	
at 1 day		--
at 3 days		44
at 7 days		62
at 28 days		79
compressive strength	Kg/Cm <sup>2</sup>	
at 1 day		-
at 3 days		211
at 7 days		334
at 28 days		486

Table 7. Test results for raw meals

No.	designation		average	max	min
1	CaCO <sub>3</sub> +MgCO <sub>3</sub> content (titration)	%	77.13	78.25	76.00
	quartz	%	4		
	kaolin	%	1.4		
	illite	%	17.5		

No.	designation		average	max	min
	montmorillonite	%	-		
2	water content of the kiln feed	%	0.41	0.5	0.3
3	litre weights of the granules	kg/l	1.180		
4	fineness of raw meal kiln test				
	percentage retained on sieve 0.20 DIN 4188(900 meshes/cm <sup>2</sup> )	%	3.8	4.4	2.8
	percentage retained on sieve 0.09 DIN 4188(4900 meshes/cm <sup>2</sup> )	%	19.8	21.4	18.0
	sieving				
		<200	96.5		
		<120	92.4		
		<90	81.8		
		<60	70.5		

Table 8 : Chemical analyses of raw meal, asst. clinker and dust

No.	constituents	raw meal		ash	clinker		dust in raw gas	
			igni- ted			igni- ted		igni- ted
		a	b	c	d	e	f	g
1	insoluble residue	-	-	-	0.05	0.05	-	-
2	SiO <sub>2</sub>	14.01	21.66	47.0	21.52	21.60	17.94	26.41
3	Al <sub>2</sub> O <sub>3</sub>	3.85	5.95	24.0	6.15	6.18	5.50	8.10
4	TiO <sub>2</sub>	0.12	0.19	-	0.20	0.20	0.16	0.24
5	P <sub>2</sub> O <sub>5</sub>	-	-	0.6	-	-	-	-
6	Fe <sub>2</sub> O <sub>3</sub>	1.23	1.90	11.2	2.49	2.50	1.55	2.30
7	Mn <sub>2</sub> O <sub>3</sub>	0.10	0.15	-	0.09	0.09	0.09	0.13



No.	constituents	raw meal		ash	clinker		dust in raw gas	
			igni- ted			igni- ted		igni- ted
		a	b	c	d	e	f	g
8	CaO	43.39	67.09	4.4	66.63	66.83	39.53	58.18
9	MgO	0.62	0.93	2.7	0.80	0.80	0.87	1.28
10	SO <sub>3</sub> total	0.60	0.93	4.2	0.92	0.92	1.11	1.63
11	S	-	-	-	0.00	0.00	-	-
12	K <sub>2</sub> O	0.67	1.04	3.8	0.80	0.93	1.32	1.94
13	Na <sub>2</sub> O	0.06	0.09	0.8	0.05	0.05	0.16	0.24
14	loss on ignition	35.33	-	-	0.37	-	32.06	-
15	Sum 1 - 14	99.98	99.93	98.7	100.08	100.07	100.30	100.45
16	non-volatile oxidic components 1-9	63.32	97.90	89.9	97.94	98.30	65.65	96.64
17	C	0.19	-	-	-	-	0.04	-
18	CaO free	0.03	0.05	-	0.89	0.89	-	0.06
19	CO <sub>2</sub>	33.83	-	-	-	-	29.32	-
20	H <sub>2</sub> O(<110 ° C)	0.41	-	-	-	-	0.35	-
21	H <sub>2</sub> O(>110 ° C)	1.31	-	-	-	-	2.74	-

Table 9: Test results for dusts from rotary kiln

No.		dimension	suspension preheater kiln
1	clean gas dust in the exit gas	g/Nm <sup>3</sup> % of amount generated	0.47 0.11
2	raw gas dust in the exit gas	g/Nm <sup>3</sup> % of amount generated	72.5 12.1
3	dust in raw gas at kiln inlet	g/Nm <sup>3</sup> % of amount generated	55 7

No.	dimension	suspension preheater kiln
4	Dust in the above gas :	
	cyclone 1 top stage	$\frac{g}{Nm^3}$ % of amount generated
		72.5 12.1
	cyclone 2	$\frac{g}{Nm^3}$ % of amount generated
		149 23.7
	cyclone 3	$\frac{g}{Nm^3}$ % of amount generated
		206 31.9
	cyclone 4 bottom stage	$\frac{g}{Nm^3}$ % of amount generated
		254 37.6

Table 10. Gas and air conditions for the rotary kiln

No.	designation	temperature °C	flow rate $Nm^3/Kg\ cl.$	static pressure mm w.g.
1	atmosphere	14	-	755 mm mercury
	relative humidity in %	93%	-	
2	primary air	129	0.16	-
	in % of combustion air	-	16%	-
3	secondary air	827	0.83	-
4	false air(firing hood)	~20	0.06	-
5	theoretical amount of combustion air = $L_{min}$ (for $n=1$ )	-	0.95	-
6	actual amount of combustion air and air excess	-	1.05	-
7	air excess factor $n=$	-	1.11	-
8	cooling air	14	2.50	+ 129
9	exhaust air from cooler	210	1.58	- 3.0
10	exit gas measured	344	1.66	- 530
11	exit gas calculated	344	1.59	- 530

No.	designation	temperature °C	flow rate Nm <sup>3</sup> /kg cl.	static pressure mm w.g.
12	false air(kiln inlet to final exhaust fan)	-	-	-
13	proportion of primary air from the Fuller cooler	210	0.09	-
14	hot air from Fuller cooler to coal grinding mill	-	-	-

Table 11: Orsat analyses, excess air factor, H<sub>2</sub>O contents and dew-points

No.	designation	CO <sub>2</sub> %	O <sub>2</sub> %	CO %	N <sub>2</sub> %	n	H <sub>2</sub> O in		dew-point °C
							% re-ferred to moist gas	kg/Nm <sup>3</sup> of dry gas	
1	kiln inlet	26.6	1.9	0.1	71.4	1.11	-	-	-
2	after heat-exchanger	29.0	4.2	Sp.	66.8	1.31	6.6	0.103	49

Table 12. Radiation and Convection

No.	designation	kcal 10 <sup>b</sup> /h	kcal/kg cl.
1	kiln shell (+5%)	2.061	119
2	firing hood (+5%)	0.030	2
3	cooler (+10%)	0.055	3
4	suspension preheater		
	cyclone stage 1 (top stage)	0.206	12
	cyclone stage 2	0.100	6
	cyclone stage 3	0.100	6
	cyclone stage 4 (bottom stage)	0.170	9
	Total	2.722	157

不幸히도 Humboldt system 에서의 原料乾燥와 石炭乾燥에

대한 仔細한 熱収支 data가 없어 여기에 신지 못함을 遺憾으로 생각한다. 이는 後에 資料를 얻어 機會있는 대로 記述하기로 하겠다.

参考文献:

- (1) Paul Weber: Wärmeübergang im Drehofen (Heat transfer in rotary kilns with due regard to cyclin processes and phase formation). Bauverlag GmbH, 1963. Special edition 9 of the journal "Zement-Kalk-Gips", Wiesbaden, 1959.
- (2) VDZ: Arbeitsmappe. "Berechnungs-unterlagen für Ofenversuche" (portfolio "Calculation sheets for kiln tests"), Düsseldorf, 1959. Rechnungs-gang für die Untersuchung von Dreh-und Schacht-öfen in der Zementindustrie (Calculation procedure for the investigation of rotary kilns and shaft kilns in the cement industry).